

LA GRANDEUR EST UNE RÉUSSITE.

NEODENT[®] GRAND MORSE



Connexion
Grand Morse[®]



Implant
Helix[®]



Surface
Acqua

SOURIRE TOUTE LA VIE

Neodent® est une marque internationale créée par un dentiste pour les dentistes, dans le but de **changer des vies**. Disponible dans **95 pays**, avec une histoire de **plus de 30 ans**, axée sur la facilité d'utilisation, les **systèmes implantaires dentaires Neodent®** se concentrent sur **des concepts de traitement évolutifs**, tels que la **mise en charge immédiate**. Ils offrent **des solutions modernes et fiables** afin de permettre un accès aux traitements à des prix abordables pour **créer chaque jour de nouveaux sourires**.



MARQUE INTERNATIONALE

Disponibles dans 95 pays, élargir notre philosophie dans le monde entier.



CRÉÉE PAR UN DENTISTE POUR LES DENTISTES

Une histoire de plus de 30 ans axée sur la facilité d'utilisation.



CONCEPTS DE TRAITEMENT ÉVOLUTIFS

Des solutions modernes et fiables.



ACCÈS À DES TRAITEMENTS ABORDABLES

Accès à des solutions de traitement éprouvées et abordables.



A Straumann Group Brand

NEODENT GLOBAL PLAY

Neodent Global Play est une plate-forme en ligne de formation et d'éducation qui héberge une richesse de contenus, disponibles **à la demande et gratuitement**. Vous y découvrirez des cas cliniques, des vidéos de formation aux produits, des tutoriels, et bien plus encore !

L'inscription est simple et automatique. Il vous suffit de remplir le formulaire pour avoir un accès immédiat à toute la richesse du contenu.



Rendez-vous à l'adresse :
globalplay.neodent.com



Helix[®] Grand Morse[®]

Polyvalence inégalée

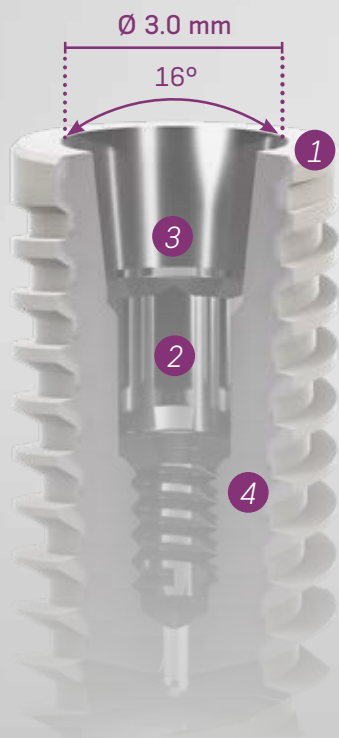
Profitez d'une meilleure flexibilité pour traiter vos patients et leur offrir des résultats de remplacement dentaire optimaux dans toutes les indications, depuis les cas unitaires aux cas d'édentement complet. Helix[®] Grand Morse[®] ouvre des possibilités de traitement personnalisé en fonction de la situation clinique particulière, tout en respectant les principes biologiques et les fondements de la dentisterie implantaire.



UNE GRANDE FIABILITÉ

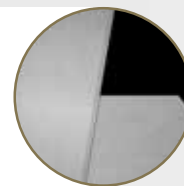
**UNE BASE STABLE ET SOLIDE CONÇUE POUR
UNE RÉUSSITE À LONG TERME**

L'interface implant-partie secondaire est essentielle pour un résultat à long terme fonctionnel et esthétique. La connexion Neodent[®] Grand Morse[®] offre une combinaison unique basée sur des concepts éprouvés, dont le concept de switching plateforme associé à un cône Morse 16° profond doté d'une indexation interne pour une connexion solide et stable offrant des résultats durables.



1 Switching plateforme

Conception des parties secondaires avec un diamètre plus étroit que la partie coronaire de l'implant permettant le concept de switching plateforme ⁽¹⁻⁵⁾.



2 Indexation interne

Positionnement précis de la partie secondaire, protection contre la rotation et manipulation facile.



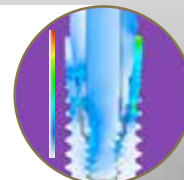
3 Connexion profonde

Permet une grande surface de contact entre la partie secondaire et l'implant pour une distribution optimale de la charge.



4 Connexion à cône Morse 16°

Conçue pour assurer un emboîtement très ajusté pour un scellement optimal de la connexion.





UNE GRANDE STABILITÉ

CONÇU POUR DES TRAITEMENTS PRÉDICTIBLES AVEC MISE EN CHARGE IMMÉDIATE DANS TOUS LES TYPES D'OS

Les attentes croissantes pour des durées de traitement plus courtes représentent un véritable défi pour les professionnels des soins dentaires. Le système Neodent® Grand Morse® propose une conception d'implant unique, avec la surface hydrophile novatrice Acqua, conçue pour offrir une stabilité primaire et une prédictibilité maximales dans les protocoles de mise en charge immédiate.

IMPLANT OPTIMAL CONÇU POUR GARANTIR UNE EXCELLENTE STABILITÉ PRIMAIRE

Helix® Grand Morse® est un implant hybride innovant qui maximise les options de traitement et l'efficacité, quelle que soit le type d'os (I, II, III et IV).



Corps entièrement conique

- Coronaire : 2° - 12°
- Apex : 16°
- » permet une sous-ostéotomie



Contour hybride

- Coronaire : Cylindrique
- Apex : Conique
- » Stabilité avec flexibilité de positionnement vertical



Conception progressive dynamique du filetage

- Coronaire : Trapézoïdal > compression
- Apex : Forme en V > autotaraudant
- » Assure une excellente stabilité primaire dans toutes les qualités osseuses



Apex actif

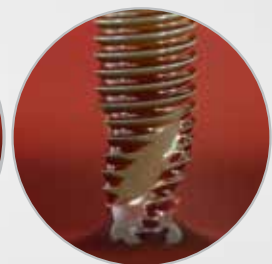
- Petite extrémité arrondie
- Cannelures hélicoïdales
- » Permet une mise en charge immédiate

SURFACE HYDROPHILE ACQUA CONÇUE POUR UNE EXCELLENTE PRÉDICTIBILITÉ DU TRAITEMENT

La surface hydrophile Neodent® Acqua est la nouvelle évolution de la remarquable surface S.L.A. développée pour une ostéo-intégration réussie même dans des situations difficiles, dans de l'os tendre ou pour les protocoles immédiats.⁽⁶⁻⁹⁾



Surface NeoPoros



Surface hydrophile Acqua

Caractère hydrophile :

La surface hydrophile présente un angle de contact plus petit au contact des liquides. Cela permet une plus grande accessibilité des fluides organiques à la surface de l'implant Acqua.⁽⁷⁾



UNE ESTHÉTIQUE REMARQUABLE

OFFRE IMMÉDIATEMENT UNE ESTHÉTIQUE NATURELLE

Aujourd'hui, les patients souhaitent des traitements courts et des résultats esthétiques. La gamme de restauration Neodent® Grand Morse® est polyvalente : elle simplifie la gestion des tissus mous en respectant les distances biologiques pour une mise en charge immédiate et une esthétique parfaite.

LA DERNIÈRE ÉVOLUTION DU TRAITEMENT DE RESTAURATION D'UNE ARCADE COMPLÈTE AVEC FIXATION IMMÉDIATE

La partie secondaire conique Mini Neodent® Grand Morse® a été conçue pour améliorer le traitement de restauration d'une arcade complète avec fixation immédiate en optimisant le profil d'émergence de la partie secondaire, ce qui réduit le besoin de procédures invasives.



Partie secondaire provisoire en titane



Partie secondaire Pro PEEK



Base en titane



Base en titane C



Base en titane pour bridge



Bloc en titane (Support AG ou MEDENTIKA)



Base en CoCr



Partie Secondaire Anatomique (droite et angulée)



Partie Secondaire Universelle (droite et angulée)



Partie secondaire



Partie secondaire conique Mini angulée



Attachement en TiN* pour prothèses amovibles (droite et angulée)



Base en titane SA



Partie secondaire conique Mini droite



Partie secondaire Micro



Prothèse unitaire vissée



Prothèse unitaire scellée



Overdenture



Prothèses plurales vissées



Prothèse plurale scellée



Provisoire



UNE GRANDE SIMPLICITÉ

LE SOMMET DE LA SIMPLICITÉ D'EMPLOI

Le traitement implantaire fait désormais partie intégrante de la dentisterie clinique et un nombre croissant de patients demandent ce type de traitement. Le système implantaire Neodent® Grand Morse® a été conçu de manière intelligente pour offrir efficacité et simplicité tout au long du traitement dentaire, tant pour les étapes chirurgicales que pour les étapes de restauration.

UNE PLATEFORME PROTHÉTIQUE UNIQUE

Tous les implants Neodent® Grand Morse® possèdent la connexion unique Grand Morse®, quel que soit le diamètre de l'implant.



UN SEUL TOURNEVIS

Le tournevis Neo a un connecteur en étoile qui garantit fiabilité et durabilité, et qui est compatible avec les parties secondaires de cicatrisation, les vis de fermeture et la plupart des vis de restauration Neodent® Grand Morse®.



UN SEUL DRIVER D'IMPLANT

Le nouveau driver d'implant Neodent® permet une préhension et une pose simples et fiables de l'implant.



UN SEUL KIT CHIRURGICAL

Le kit chirurgical compact, intuitif et fonctionnel, permet la pose d'implants Helix GM® pour tous les types d'os.



HELIX GM®

Indications : toutes les situations cliniques et les différentes densités osseuses. Pose dans les os de types III et IV (avec possibilité de sous-instrumentation), I et II avec l'utilisation de forets à contour.
Vitesse de forage : 800 - 1200 trs/min pour les os de types I et II ; 500 - 800 trs/min pour les os de types III et IV | Vitesse de rotation pour la pose : 30 trs/min | Torque maximal : 60 N.cm

IMPLANT / SURFACE

| Ø 3.5 | Acqua | | NeoPoros | |
|-------|---------|---------|----------|------|
| | 8.0 | 10.0 | 11.5 | 13.0 |
| | 140.943 | 109.943 | | |
| | 140.944 | 109.944 | | |
| | 140.945 | 109.945 | | |
| | 140.946 | 109.946 | | |
| | 140.947 | 109.947 | | |
| | 140.988 | 109.988 | | |

| Ø 3.75 | Acqua | | NeoPoros | |
|--------|---------|---------|----------|------|
| | 8.0 | 10.0 | 11.5 | 13.0 |
| | 140.976 | 109.976 | | |
| | 140.977 | 109.977 | | |
| | 140.978 | 109.978 | | |
| | 140.979 | 109.979 | | |
| | 140.980 | 109.980 | | |
| | 140.981 | 109.981 | | |

| Ø 4.0 | Acqua | | NeoPoros | |
|-------|---------|---------|----------|------|
| | 8.0 | 10.0 | 11.5 | 13.0 |
| | 140.982 | 109.982 | | |
| | 140.983 | 109.983 | | |
| | 140.984 | 109.984 | | |
| | 140.985 | 109.985 | | |
| | 140.986 | 109.986 | | |
| | 140.987 | 109.987 | | |

| Ø 4.3 | Acqua | | NeoPoros | |
|-------|---------|---------|----------|------|
| | 8.0 | 10.0 | 11.5 | 13.0 |
| | 140.948 | 109.948 | | |
| | 140.949 | 109.949 | | |
| | 140.950 | 109.950 | | |
| | 140.951 | 109.951 | | |
| | 140.952 | 109.952 | | |
| | 140.989 | 109.989 | | |

| Ø 5.0 | Acqua | | NeoPoros | |
|-------|---------|---------|----------|------|
| | 8.0 | 10.0 | 11.5 | 13.0 |
| | 140.953 | 109.953 | | |
| | 140.954 | 109.954 | | |
| | 140.955 | 109.955 | | |
| | 140.956 | 109.956 | | |
| | 140.957 | 109.957 | | |
| | 140.990 | 109.990 | | |

| Ø 6.0 | Acqua | | NeoPoros | |
|-------|----------|----------|----------|------|
| | 8.0 | 10.0 | 11.5 | 13.0 |
| | 140.1009 | 109.1009 | | |
| | 140.1010 | 109.1010 | | |
| | 140.1011 | 109.1011 | | |
| | 140.1012 | 109.1012 | | |

SÉQUENCE DE FORAGE



Kit chirurgical prééquipé Compact Helix GM®

110.303

| Ø 7.0 | Acqua | | NeoPoros | |
|-------|----------|----------|----------|------|
| | 8.0 | 10.0 | 11.5 | 13.0 |
| | 140.1059 | 109.1059 | | |
| | 140.1060 | 109.1060 | | |
| | 140.1061 | 109.1061 | | |
| | 140.1062 | 109.1062 | | |

SÉQUENCE DE FORAGE INITIALE

| | | | | |
|--------|----------|---------|---------|---------|
| Ø 3.5 | 103.170* | 103.425 | | |
| Ø 3.75 | 103.170* | 103.425 | 103.561 | |
| Ø 4.0 | 103.170* | 103.425 | 103.561 | |
| Ø 4.3 | 103.170* | 103.425 | 103.561 | 103.564 |
| Ø 5.0 | 103.170* | 103.425 | 103.561 | |
| Ø 6.0 | 103.170* | 103.425 | 103.561 | 103.564 |
| Ø 7.0 | 103.170* | 103.425 | 103.561 | |

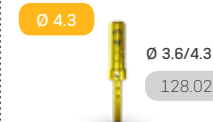
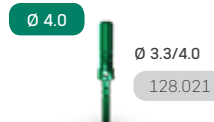
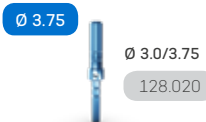
SÉQUENCE DE FORAGE POUR OS DE TYPES I ET II

| | | | | | |
|--|-----------------|----------|---------|---------|---------|
| | 103.578 | 103.513 | | | |
| | 103.579 | 103.514 | | | |
| | 103.564 | 103.580 | 103.515 | | |
| | 103.567 | 103.581 | 103.516 | | |
| | 103.564 | 103.567* | 103.570 | 103.582 | 103.517 |
| | Non recommandée | | | | |
| | Non recommandée | | | | |

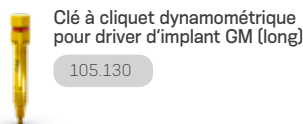
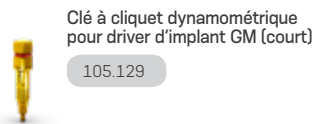
SÉQUENCE DE FORAGE POUR OS DE TYPES III ET IV *FACULTATIF

| | | | | |
|--|----------|----------|---------|----------|
| | 103.561 | | | |
| | 103.564* | | | |
| | 103.567* | | | |
| | 103.570* | | | |
| | 103.570 | 103.573* | | |
| | 103.570 | 103.573 | 103.576 | |
| | 103.570 | 103.573 | 103.576 | 103.577* |

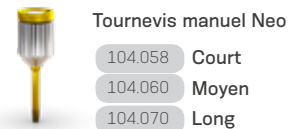
INDICATEUR DE DIRECTION



DRIVERS ET CLÉ À CLIQUET DYNAMOMÉTRIQUE



VIS DE FERMETURE



PARTIES SECONDAIRES DE CICATRISATION

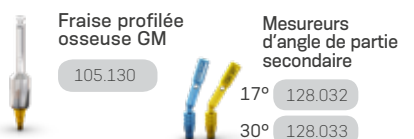
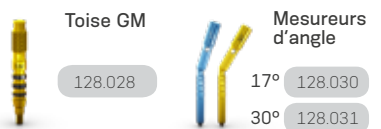
Parties secondaires de cicatrization GM

| | 0.8 mm | 1.5 mm | 2.5 mm | 3.5 mm | 4.5 mm | 5.5 mm |
|-------|---------|---------|---------|---------|---------|---------|
| Ø 3.3 | 106.207 | 106.208 | 106.209 | 106.210 | 106.211 | 106.212 |
| Ø 4.5 | 106.213 | 106.214 | 106.215 | 106.216 | 106.217 | 106.218 |
| Ø 5.5 | | 106.250 | 106.251 | 106.252 | 106.253 | |
| Ø 6.5 | | 106.254 | 106.255 | 106.256 | 106.257 | |

Parties secondaires de cicatrization personnalisables GM


| | 1.5 mm | 2.5 mm | 3.5 mm | 4.5 mm | 5.5 mm | 6.5 mm |
|-------|---------|---------|---------|---------|---------|---------|
| Ø 5.5 | 106.223 | 106.224 | 106.225 | 106.226 | 106.227 | |
| Ø 7.0 | | 106.228 | 106.229 | 106.230 | 106.231 | 106.232 |

ACCESSOIRES CHIRURGICAUX



Choix de la partie secondaire

Flux de travail numérique

 20 Ncm

Base en titane GM solution angulée (SA)

| | | | |
|-------|---------|---------|---------|
| HG | 0.8 mm | 1.5 mm | 2.5 mm |
| Ø 4.0 | 135.327 | 135.328 | 135.329 |
| Ø 4.5 | 135.333 | 135.334 | 135.335 |
| Ø 5.5 | 135.339 | 135.340 | 135.341 |
| 4 mm | | | |
| Ø 4.0 | 135.330 | 135.331 | 135.332 |
| Ø 4.5 | 135.336 | 135.337 | 135.338 |
| Ø 5.5 | 135.342 | 135.343 | 135.344 |

Tournevis pour Solutions Angulées

Flux de travail numérique/classique


 20 Ncm

Base en Titane GM Exact

| | | | | | |
|-------|---------|---------|---------|---------|---------|
| HG | 0.8 mm | 1.5 mm | 2.5 mm | 3.5 mm | 4.5 mm |
| Ø 3.5 | 135.355 | 135.356 | 135.357 | 135.358 | 135.359 |
| Ø 4.5 | 135.367 | 135.368 | 135.369 | 135.370 | 135.371 |
| Ø 5.5 | 135.379 | 135.380 | 135.381 | 135.382 | 135.383 |
| Ø 6.5 | 135.391 | 135.392 | 135.393 | 135.394 | |
| 4 mm | | | | | |
| Ø 3.5 | 135.361 | 135.362 | 135.363 | 135.364 | 135.365 |
| Ø 4.5 | 135.373 | 135.374 | 135.375 | 135.376 | 135.377 |
| Ø 5.5 | 135.385 | 135.386 | 135.387 | 135.388 | 135.389 |
| Ø 6.5 | 135.395 | 135.396 | 135.397 | 135.398 | |

Tournevis Neo pour application du torque

Flux de travail numérique

 20 Ncm

Base en Titane C pour GM Exact

| | | | |
|------|---------|---------|---------|
| HG | 0.8 mm | 1.5 mm | 2.5 mm |
| | 135.349 | 135.350 | 135.351 |
| 4 mm | | | |
| | 135.352 | 135.353 | 135.354 |

Tournevis Neo pour application du torque

Prise d'Empreinte

Corps de scannage pour implant GM

108.207

Pièce de transfert pour Implant GM Exact

| | | |
|-----------------------|------------------------|----------|
| Porte-empreinte fermé | Porte-empreinte ouvert | Standard |
| 108.160 | 108.162 | |
| 108.161 | 108.163 | Long |

Base de scannage GM pour C

| | | | |
|----|---------|---------|---------|
| HG | 0.8 | 1.5 | 2.5 |
| | 108.228 | 108.229 | 108.230 |
| | 3.5 | 4.5 | 5.5 |
| | 108.231 | 108.232 | 108.233 |

*Flux de travail de scannage en option

Production du modèle

Analogue d'implant GM

| | | |
|------------|-----------|---------------|
| Ø 3.5/3.75 | Ø 4.0/4.3 | Ø 5.0/6.0/7.0 |
| 101.103 | 101.089 | 101.090 |


Hybride repositionnable (classique/numérique)



Scannage intraoral avec corps de scannage fournis par Dentsply Sirona

Provisoire


Partie secondaire Pro PEEK GM

 20 Ncm

| | | | |
|--------|---------|---------|---------|
| 0.8 mm | 1.5 mm | 2.5 mm | |
| Ø 4.5 | 114.874 | 114.875 | 114.876 |
| Ø 6.0 | 114.880 | 114.881 | 114.882 |
| 3.5 mm | 4.5 mm | 5.5 mm | |
| Ø 4.5 | 114.877 | 114.878 | 114.879 |
| Ø 6.0 | 114.883 | 114.884 | 114.885 |

Tournevis Neo pour application du torque


Partie secondaire GM provisoire pour couronne

 20 Ncm

| | | |
|--------|---------|---------|
| 0.8 mm | 1.5 mm | |
| Ø 3.5 | 118.344 | 118.345 |
| Ø 4.5 | 118.348 | 118.349 |
| 2.5 mm | 3.5 mm | |
| Ø 3.5 | 118.346 | 118.347 |
| Ø 4.5 | 118.350 | 118.351 |

Tournevis Neo pour application du torque

Partie secondaire GM provisoire pour bridge

 20 Ncm

| | | |
|--------|---------|---------|
| 0.8 mm | 1.5 mm | |
| Ø 3.5 | 118.352 | 118.353 |
| Ø 4.5 | 118.356 | 118.357 |
| 2.5 mm | 3.5 mm | |
| Ø 3.5 | 118.354 | 118.355 |
| Ø 4.5 | 118.358 | 118.359 |

Tournevis Neo pour application du torque

Scannage du modèle

Corps de scannage pour implant GM

108.207



Sélectionner dans le logiciel CAO la base en Ti comparable d'une société tierce, effectuer la conception numérique et l'usinage.

Coiffe définitive

Non applicable

Coiffe calculable pour base en titane

| | | |
|-------|---------|---------|
| | 4 mm | 6 mm |
| Ø 3.5 | 118.322 | 118.323 |
| Ø 4.5 | 118.325 | 118.327 |
| Ø 5.5 | 118.329 | 118.342 |



Vérifier l'ajustement de la restauration usinée dans la bouche du patient et l'adapter si nécessaire. Sceller la restauration sur la base en titane C et l'insérer dans la bouche du patient.


Vis

Vis pour base en titane GM SA

 20 Ncm

116.288

Vis GM Neo pour bases en titane et Pro PEEK

 20 Ncm

116.291 HG 0.8/1.5/ 2.5
116.292 HG 3.5/4.5/5.5 et toutes les bases en titane

Vis GM Neo

| | |
|-----------|---------|
| Neotorque | Titane |
| 116.285 | 116.286 |

Drivers

Tournevis Solution angulée (SA)

| | |
|--------------|--------------------|
| Contre-angle | Clé dynamométrique |
| 105.147 | 105.150 |
| 105.148 | 105.151 |
| 105.149 | 105.152 |

Court
Standard
Long

Tournevis Neo pour application du torque

| | |
|--------------|--------------------|
| Contre-angle | Clé dynamométrique |
| 105.146* | 105.132 |
| 105.135 | 105.133 |
| 105.160 | 105.157 |
| 105.167 | |

Extra court
Court
Long
Extra long

Solutions vissées/scellées

Solutions vissées

Unitaire/plurale

Unitaire

Plurale

Au niveau de l'implant

Choix de la partie secondaire

Bloc en titane GM - Support MEDENTIKA Flux de travail numérique

Ø 11.5 mm 135.252 Ø 15.8 mm 135.253

Tournevis Neo pour application du torque
Vis vendue séparément

Bloc en titane GM - Support Amann Girrbach

Ø 12.0 mm 135.226

Tournevis Neo pour application du torque
Vis vendue séparément

Flux de travail classique

Ensemble de parties secondaires en CoCr GM Exact

Ø 3.5/3.75 118.309 Ø 4.0/4.3 118.310 Ø 5.0/6.0 118.311

Tournevis Neo pour application du torque

L'ensemble comprend une base en CoCr GM, une vis en titane et un analogue d'implant GM.
À utiliser après la partie secondaire de cicatrisation spécifique pour la gestion des tissus mous.

Flux de travail numérique

Base en titane GM pour bridge

HG 0.8 mm 1.5 mm 2.5 mm 3.5 mm 4.5 mm

Ø 3.5 135.399 135.400 135.401 135.402 135.403

Ø 4.5 135.404 135.405 135.406 135.407 135.408

Ø 5.5 135.409 135.410 135.411 135.412 135.413

Tournevis Neo pour application du torque

Permet une divergence maximale de 10° pour Ø 3.5 et de 16° pour Ø 4.5 et Ø 5.5

Prise d'Empreinte

Corps de scannage pour implant GM 108.207

Pièce de transfert pour Implant GM Exact

Porte-empreinte fermé 108.160 Porte-empreinte ouvert 108.162

Standard Long

108.161 108.163

Pièce de transfert pour Implant GM Exact

Porte-empreinte fermé 108.160 Porte-empreinte ouvert 108.162

Standard Long

108.161 108.163

Corps de scannage pour implant GM 108.207

Pièce de transfert pour Implant GM

Porte-empreinte ouvert 108.158

Standard Long

108.159

Production du modèle

Analogue d'implant GM

Ø 3.5/3.75/4.0/4.3 101.074 Ø 5.0/6.0/7.0 101.075 Classique

Ø 3.5/3.75 101.103 Ø 4.0/4.3 101.089 Ø 5.0/6.0/7.0 101.090 Hybride repositionnable (classique/numérique)

Analogue d'implant GM

Ø 3.5/3.75/4.0/4.3 101.074 Ø 5.0/6.0 101.075 Classique

Analogue d'implant GM

Ø 3.5/3.75/4.0/4.3 101.074 Ø 5.0/6.0/7.0 101.075 Classique

Ø 3.5/3.75 101.103 Ø 4.0/4.3 101.089 Ø 5.0/6.0/7.0 101.090 Hybride repositionnable (classique/numérique)

Provisoire

Partie secondaire Pro PEEK GM

0.8 mm 1.5 mm 2.5 mm

Ø 4.5 114.874 114.875 114.876

Ø 6.0 114.880 114.881 114.882

3.5 mm 4.5 mm 5.5 mm

Ø 4.5 114.877 114.878 114.879

Ø 6.0 114.883 114.884 114.885

Tournevis Neo pour application du torque

Partie secondaire GM provisoire pour couronne

0.8 mm 1.5 mm 2.5 mm 3.5 mm

Ø 3.5 118.344 118.345 118.346 118.347

Ø 4.5 118.348 118.349 118.350 118.351

Tournevis Neo pour application du torque

Partie secondaire GM provisoire pour bridge

0.8 mm 1.5 mm 2.5 mm 3.5 mm

Ø 3.5 118.352 118.353 118.354 118.355

Ø 4.5 118.356 118.357 118.358 118.359

Tournevis Neo pour application du torque

Partie secondaire de cicatrisation pour base en CoCr GM

Ø 3.5/3.75 106.237 Ø 4.0/4.3 106.238 Ø 5.0/6.0 106.239

Tournevis manuel Neo

Partie secondaire GM provisoire pour bridge

0.8 mm 1.5 mm 2.5 mm 3.5 mm

Ø 3.5 118.352 118.353 118.354 118.355

Ø 4.5 118.356 118.357 118.358 118.359

Tournevis Neo pour application du torque

Scannage du modèle

Corps de scannage pour implant GM 108.207

Non applicable

Corps de scannage pour implant GM 108.207

Coiffe définitive

Non applicable

Non applicable

Non applicable

Vis

Vis GM Neo pour bases en titane et Pro PEEK

HG 0.8/1.5/ 2.5 116.291

HG 3.5/4.5/5.5 et toutes les bases en titane 116.292

Vis GM Neo Neotorque Titane

116.285

116.286

Vis de coiffe pour base en CoCr Neo

Neotorque 116.282 Titane 116.283

Vis GM Neo 116.292

Drivers

Tournevis Neo pour application du torque

Contre-angle

Extra court 105.146* Court 105.135 Long 105.160 Extra long 105.167

Clé dynamométrique

Moyen 105.132 Court 105.133 Long 105.157

*Recommandé pour les pièces de transfert pour porte-empreintes fermés et ouverts pour implants ou parties secondaires, les vis de fermeture et les parties secondaires de cicatrisation.

Solutions vissées

TYPES DE RESTAURATIONS

Niveau de travail

Unitaire

Plurale

Partie secondaire GM Exact

Partie secondaire conique Mini GM

Choix de la partie secondaire



Partie secondaire GM Exact



HG 0.8 mm 1.5 mm 2.5 mm 3.5 mm 4.5 mm 5.5 mm
115.269 115.270 115.271 115.272 115.273 115.274

Tournevis Neo pour application du torque



Partie secondaire conique Mini GM



HG 0.8 mm 1.5 mm 2.5 mm 3.5 mm 4.5 mm 5.5 mm
115.243 115.244 115.245 115.246 115.247 115.248

Driver prothétique hexagonal



Partie secondaire conique Mini GM Exact 17°/30°



HG 1.5 mm 2.5 mm 3.5 mm 17° 115.275 115.276 115.277
HG 1.5 mm 2.5 mm 3.5 mm 30° 115.278 115.279 115.280

Tournevis Neo pour application du torque

Prise d'empreinte

Corps de scannage pour partie secondaire GM



108.220

Pièce de transfert pour partie secondaire GM



Porte-empreinte fermé

108.179

Corps de scannage pour partie secondaire conique Mini



108.218



Pièce de transfert Slim pour partie secondaire conique Mini pour porte-empreinte ouvert

108.176

Production du modèle



Analogue de partie secondaire

101.076

101.101

Classique
Hybride repositionnable (classique/numérique)



Analogue de partie secondaire conique Mini

101.020

101.092

Classique
Hybride repositionnable (classique/numérique)

Provisoire



Coiffe en titane pour partie secondaire Neo

118.300



Cylindre de protection pour partie secondaire Neo



106.221

Tournevis Neo pour application du torque



Coiffes en titane pour partie secondaire conique Mini Neo

118.302



Cylindre de protection pour partie secondaire conique Mini Neo

Large

106.278

Standard

106.268



Barre Distale Neo



Coiffe pour partie secondaire conique Mini Neo pour barre distale

118.308



Tournevis Neo pour application du torque

Scannage du modèle



Corps de scannage pour partie secondaire GM

108.220



Corps de scannage pour partie secondaire conique Mini

108.218

Coiffe définitive



Coiffes pour partie secondaire Neo pour couronne



Calcinable

118.298



CoCr

118.299



Numérique

118.362

Tournevis Neo pour application du torque

Coiffes pour partie secondaire conique Mini Neo



Calcinable

118.301



CoCr

118.303



Coiffes pour partie secondaire conique Mini Neo Technique One Step Hybrid



Calcinable

118.340



Laiton

118.331



Titane

118.382



Tournevis Neo pour application du torque

Coiffe One Step Hybrid Neo pour partie secondaire conique Micro



Titane

118.382



Tournevis Neo pour application du torque

Vis et protecteurs de polissage

Vis GM Neo



116.290 HG 0.8

116.291 HG 1.5/2.5

116.292 HG 3.5/4.5/5.5



Vis de coiffe pour partie secondaire Neo



116.267 Neotorque

116.266 Titane



Vis GM Neo



116.291 HG 1.5/2.5

116.292 HG 3.5/4.5/5.5



Vis de coiffe pour partie secondaire conique Mini Neo



116.270 Neotorque

116.269 Titane



Protecteur de polissage pour partie secondaire conique Mini



123.008

Vis de travail One Step Hybrid Neo



116.271

Drivers

Tournevis Neo pour application du torque



Contre-angle

105.146* Extra court

105.135 Court

105.160 Long

105.167 Extra long

Clé dynamométrique

105.132 Moyen

105.133 Court

105.157 Long

Driver prothétique hexagonal

105.137 Clé dynamométrique

105.138 Contre-angle

Solutions vissées

Solutions scellées


Unitaire/plurale

Unitaire

Partie secondaire GM Micro


Partie Secondaire Anatomique Click GM Exact

Choix de la partie secondaire


Partie secondaire GM Micro 

| | | | | | |
|-----------|---------|---------|---------|---------|---------|
| HG 0.8 mm | 1.5 mm | 2.5 mm | 3.5 mm | 4.5 mm | 5.5 mm |
| 115.255 | 115.256 | 115.257 | 115.258 | 115.259 | 115.260 |

Driver prothétique hexagonal

Partie Secondaire Anatomique Click GM Exact 

| | | |
|--------|----------|---------|
| | Standard | Étroit |
| 1.5 mm | 114.862 | 114.868 |
| 2.5 mm | 114.863 | 114.869 |
| 3.5 mm | 114.864 | 114.870 |

Partie Secondaire Anatomique Click GM Exact 17° 

| | | |
|--------|----------|---------|
| | Standard | Étroit |
| 1.5 mm | 114.865 | 114.871 |
| 2.5 mm | 114.866 | 114.872 |
| 3.5 mm | 114.867 | 114.873 |

Tournevis Neo pour application du torque

Prise d'empreinte

Corps de scannage pour partie secondaire Micro

108.219 Pour couronnes et bridges

Pièce de transfert pour partie secondaire Micro

| | |
|---------|---|
| 108.182 | Porte-empreinte fermé pour couronne |
| 108.178 | Porte-empreinte ouvert Slim pour bridge |

Pièce de transfert pour Implant GM Exact

| | | | |
|---------|-----------------------|------------------------|--|
| | Porte-empreinte fermé | Porte-empreinte ouvert | |
| 108.160 | 108.162 | Standard | |
| 108.161 | 108.163 | Long | |

Production du modèle

Analogue de partie secondaire Micro

| | |
|---------|---|
| 101.078 | Classique |
| 101.091 | Hybride repositionnable (classique/numérique) |

Analogue d'implant GM

| | | | |
|------------|-----------|---------------|---|
| Ø 3.5/3.75 | Ø 4.0/4.3 | Ø 5.0/6.0/7.0 | |
| 101.103 | 101.089 | 101.090 | Hybride repositionnable (classique/numérique) |

Provisoire

Coiffe en titane pour partie secondaire Micro Neo 

| | |
|---------|---------------|
| 118.297 | Pour bridge |
| 118.317 | Pour couronne |

Cylindre de protection Neo pour partie secondaire Micro

106.267

Tournevis Neo pour application du torque

Coiffe provisoire pour Partie Secondaire Anatomique Click

| | |
|---------|----------|
| 118.334 | Standard |
| 118.335 | Étroit |

Scannage du modèle

Corps de scannage pour partie secondaire Micro GM

108.219 Pour couronnes et bridges

Non applicable

Coiffe définitive

| | | | | | | | | |
|-----------|---|---------|---|---------|---------|-----------|--|-------------|
| Classique | Coiffes pour partie secondaire Micro Neo | | Coiffes pour partie secondaire Micro Neo Technique One Step Hybrid | | | Numérique | Coiffe One Step Hybrid Neo pour partie secondaire conique Micro | |
| | Calcinable | CoCr | Calcinable | Laiton | Titane | | Titane | Pour bridge |
| | 118.295 | 118.296 | 118.341 | 118.333 | 118.381 | 118.381 | 118.363 | |

Tournevis Neo pour application du torque

Non applicable

Vis et protecteurs de polissage

Vis de coiffe pour partie secondaire Micro Neo 

| | |
|-----------|---------|
| Neotorque | Titane |
| 116.270 | 116.269 |


Protecteur de polissage pour partie secondaire Micro Pour bridge

123.015

Vis de travail One Step Hybrid Neo

116.271

Tournevis Neo pour application du torque

Vis GM Neo 

| | |
|---------|------------|
| 116.291 | HG 1.5/2.5 |
| 116.292 | HG 3.5 |

Drivers

| | | | |
|---|--------------------|-------------------------------------|--------------------|
| Tournevis Neo pour application du torque | | Driver prothétique hexagonal | |
| Contre-angle | Clé dynamométrique | | |
| 105.146* | Extra court | 105.132 | Moyen |
| 105.135 | Court | 105.133 | Court |
| 105.160 | Long | 105.157 | Long |
| 105.167 | Extra long | 105.137 | Clé dynamométrique |
| | | 105.138 | Contre-angle |

| | | | |
|---|-------------|---------------------------|-------|
| Tournevis Neo pour application du torque | | Clé dynamométrique | |
| Contre-angle | Extra court | | |
| 105.146* | Extra court | 105.132 | Moyen |
| 105.135 | Court | 105.133 | Court |
| 105.160 | Long | 105.157 | Long |
| 105.167 | Extra long | | |

Solutions scellées

Unitaire

Partie Secondaire Universelle Click GM Exact

Partie Secondaire Universelle Click GM Exact

| | | | | | | | |
|------|-------|---------|---------|---------|---------|---------|---------|
| 4 mm | HG | 0.8 mm | 1.5 mm | 2.5 mm | 3.5 mm | 4.5 mm | 5.5 mm |
| | Ø 3.3 | 114.826 | 114.827 | 114.828 | 114.829 | 114.830 | 114.831 |
| 6 mm | Ø 4.5 | 114.838 | 114.839 | 114.840 | 114.841 | 114.842 | 114.843 |
| | Ø 3.3 | 114.832 | 114.833 | 114.834 | 114.835 | 114.836 | 114.837 |
| 6 mm | Ø 4.5 | 114.844 | 114.845 | 114.846 | 114.847 | 114.848 | 114.849 |

Tournevis Neo pour application du torque

Partie Secondaire Universelle Click GM Exact 17°/30°

| | | | | | | | | |
|--------|---------|---------|---------|---------|---------|---------|---------|---------|
| 1.5 mm | 4 mm | | 6 mm | | 4 mm | | 6 mm | |
| | Ø 3.3 | Ø 4.5 | Ø 3.3 | Ø 4.5 | Ø 3.3 | Ø 4.5 | Ø 3.3 | Ø 4.5 |
| 2.5 mm | 114.802 | 114.808 | 114.805 | 114.811 | 114.814 | 114.820 | 114.817 | 114.823 |
| | 114.803 | 114.809 | 114.806 | 114.812 | 114.815 | 114.821 | 114.818 | 114.824 |
| 3.5 mm | 114.804 | 114.810 | 114.807 | 114.813 | 114.816 | 114.822 | 114.819 | 114.825 |

Choix de la partie secondaire

Prise d'Empreinte

Corps de scannage intraoral pour partie secondaire universelle

| | | |
|------|-------|---------|
| 4 mm | Ø 3.3 | 108.143 |
| | Ø 4.5 | 108.145 |
| 6 mm | Ø 3.3 | 108.144 |
| | Ø 4.5 | 108.146 |

Pièce de transfert pour Partie Secondaire Universelle Click

| | | |
|------|-------|---------|
| 4 mm | Ø 3.3 | 108.172 |
| | Ø 4.5 | 108.174 |
| 6 mm | Ø 3.3 | 108.173 |
| | Ø 4.5 | 108.175 |

Production du modèle

Analogue de Partie Secondaire Universelle

| | | | | | | |
|------|-------|---------|------|-------|---------|---|
| 4 mm | Ø 3.3 | 101.070 | 6 mm | Ø 3.3 | 101.071 | Click (classique) |
| | Ø 4.5 | 101.072 | | Ø 4.5 | 101.073 | |
| 4 mm | Ø 3.3 | 101.097 | 6 mm | Ø 3.3 | 101.098 | Hybride repositionnable (classique/numérique) |
| | Ø 4.5 | 101.099 | | Ø 4.5 | 101.100 | |

Provisoire

Coiffe provisoire pour Partie Secondaire Universelle Click

| | | |
|------|-------|---------|
| 4 mm | Ø 3.3 | 118.304 |
| | Ø 4.5 | 118.306 |
| 6 mm | Ø 3.3 | 118.305 |
| | Ø 4.5 | 118.307 |

Scannage du modèle

Non applicable

Coiffe définitive

Coiffe pour Partie Secondaire Universelle (calcinable)

| | | |
|------|-------|---------|
| 4 mm | Ø 3.3 | 118.181 |
| | Ø 4.5 | 118.183 |
| 6 mm | Ø 3.3 | 118.182 |
| | Ø 4.5 | 118.184 |

Vis

| | | | |
|---------|------------|---------|--------|
| 116.291 | HG 1.5/2.5 | 116.292 | HG 3.5 |
| | | | |

Drivers

Tournevis Neo pour application du torque

| | | | | | |
|----------|--------------|---------|-------|-------------|-------|
| 105.146* | Contre-angle | 105.132 | Moyen | | |
| | | | | Extra court | |
| | | | | 105.135 | Court |
| | | | | 105.160 | Long |
| 105.167 | Extra long | 105.157 | Long | | |

Overdenture

Attachement en TiN* GM pour prothèses amovibles

Attachement en TiN* GM pour prothèses amovibles

| | | |
|---------|---------|---------|
| 102.148 | 102.149 | 102.150 |
| | | |
| 102.151 | 102.152 | 102.153 |
| | | |

Tournevis Neo pour application du torque
*TiN - nitrure de titane

Attachement en TiN* GM pour prothèses amovibles 15° (avec vis amovible)

| | | |
|---------|---------|---------|
| 102.154 | 102.155 | 102.156 |
| | | |
| 102.157 | 102.158 | 102.159 |
| | | |

Tournevis Neo pour application du torque
*TiN - nitrure de titane

Matrice pour empreinte (4 unités)

| |
|--------------|
| 2010.722-NOV |
|--------------|

Analogue (4 unités)

| | |
|--------------|--------|
| 2010.721-NOV | Droite |
| 2010.720-NOV | 15° |

Anneau de montage

| |
|--------------|
| 2010.724-NOV |
|--------------|

Boîtier de matrice (Avec insert de doublage)

| | |
|--------------|---------------|
| 2010.701-NOV | Titane |
| 2010.702-NOV | PEEK |
| 2010.703-NOV | Avec fixation |

Élément de rétention

| | |
|--------------|------------------------|
| 2010.710-NOV | Rouge (environ 300 g) |
| 2010.711-NOV | Blanc (environ 750 g) |
| 2010.712-NOV | Jaune (environ 1200 g) |
| 2010.713-NOV | Vert (environ 1650 g) |
| 2010.714-NOV | Bleu (environ 2100 g) |
| 2010.715-NOV | Noir (environ 2550 g) |

Ensemble - Titane

| |
|--------------|
| 2010.601-NOV |
|--------------|

Extracteur pour boîtiers de matrices

| |
|--------------|
| 2010.751-NOV |
|--------------|

Instrument de retrait de l'unité de montage pour analogues

| |
|--------------|
| 2010.731-NOV |
|--------------|

Instrument pour éléments de rétention

| |
|--------------|
| 2010.741-NOV |
|--------------|

*Recommandé pour les pièces de transfert pour porte-empreintes fermés et ouverts pour implants ou parties secondaires, les vis de fermeture et les parties secondaires de cicatrisation.

RÉFÉRENCES

- (1) Al-Nsour MM, Chan HL, Wang HL. Effect of the platform-switching technique on preservation of peri-implant marginal bone: a systematic review. *Int J Oral Maxillofac Implants*. 2012 Jan-Feb;27(1):138-45.
- (2) Annibaldi S, Bignozzi I, Cristalli MP, et al. Peri-implant marginal bone level: a systematic review and meta-analysis of studies comparing platform switching versus conventionally restored implants. *J Clin Periodontol*. 2012 Nov;39(11):1097-113.
- (3) Hsu YT, Lin GH, Wang HL. Effects of Platform-Switching on Peri-implant Soft and Hard Tissue Outcomes: A Systematic Review and Meta-analysis. *Int J Oral Maxillofac Implants*. 2017;32(1):e9-e24.
- (4) Lazzara RJ, Porter SS. Platform switching: a new concept in implant dentistry for controlling postrestorative crestal bone levels. *Int J Periodontics Restorative Dentistry*. 2006 Feb;26(1):9-17.
- (5) Rocha S, Wagner W, Wiltfang J, Nicolau P, Moergel M, Messias A, Behrens E, Guerra F. Effect of platform switching on crestal bone levels around implants in the posterior mandible: 3 years results from a multicentre randomized clinical trial. *J Clin Periodontol*. 2016 Apr;43(4):374-82.
- (6) Novellino MM, Sesma N, Zanardi PR, Laganá DC. Resonance frequency analysis of dental implants placed at the posterior maxilla varying the surface treatment only: A randomized clinical trial. *Clin Implant Dent Relat Res*. 2017 Jun 20. doi: 10.1111/cid.12510. [Epub ahead of print]
- (7) Sartoretto SC, Alves AT, Resende RF, et al. Early osseointegration driven by the surface chemistry and wettability of dental implants. *J Appl Oral Sci*. 2015 May-Jun;23(3):279-87.
- (8) Sartoretto SC, Alves AT, Zarranz L, et al. Hydrophilic surface of Ti-6Al-4V-ELI alloy improves the early bone apposition of sheep tibia. *Clin Oral Implants Res*. 2016 Jun 17. doi: 10.1111/clr.12894. [Epub ahead of print]
- (9) Val JE, Gómez-Moreno G, Ruiz-Linares M, et al. Effects of Surface Treatment Modification and Implant Design in Implants Placed Crestal and Subcrestally Applying Delayed Loading Protocol. *J Craniofac Surg*. 2017 Mar;28(2):552-558.

© 2024 - JJGC Indústria e Comércio de Materiais Dentários S.A. Tous droits réservés. Toutes les marques listées dans ce document, enregistrées ou pas, sont la propriété de JJGC Indústria e Comércio de Materiais Dentários S.A. La reproduction de ce document sans autorisation préalable est interdite. Certains produits sont susceptibles de ne pas encore être commercialisés. Pour de plus amples informations, veuillez prendre contact avec votre distributeur local.

毎日、とひっきりの笑顔を

Neodent, Acqua, Helix GM, Grand Morse sont des marques de commerce ou marques déposées de JJGC Indústria e Comércio de Materiais Dentários S.A. Dentsply Sirona est une marque de commerce ou marque déposée de Dentsply Sirona, Inc. MEDENTIKA est une marque de commerce ou marque déposée de MEDENTIKA GmbH. Novaloc est une marque de commerce ou marque déposée de Valoc AG. Amann Girrbach est une marque de commerce ou une

NUOVI SORRISI OGNI GIORNO

1019_neodent_gm_brochure_fr_fr_G00_of_150424

CHAQUE JOUR DE NOUVEAUX SOURIRES

новые улыбки каждый день

JEDEN TAG EIN NEUES LÄCHELN

NUEVAS SONRISAS TODOS LOS DÍAS

NYA LEENDEN VARJE DAG

NEW SMILES EVERY DAY

NOVOS SORRISOS TODOS OS DIAS

CHAQUE JOUR DE NOUVEAUX SOURIRES

NOVOS SORRISOS TODOS OS DIAS

 **NEODENT**
A Straumann Group Brand